

山梨大学 正 平山公明
東京大学 正 松尾友矩

1. はじめに 酸素の溶解速度に及ぼす水温の影響については、いくつかの報告がみられる。多くの場合、水温の影響は、温度係数と呼ばれる式中の β で表わされ、 β の値は $1.016 \sim 1.047$ であることが知られている。

$K_{2,T} = K_{2,20} \theta^{T-20} \dots (1)$ ($K_{2,T}$: $T^{\circ}\text{C}$ での再ばつ気係数, $K_{2,20}$: 20°C での再ばつ気係数, T : 温度) 温度係数は、水路や攪拌実験により求められており、攪拌実験の場合について考えると、求められた温度係数は、スタークや攪拌羽根の回転速度（以後、攪拌速度と呼ぶ）が一定である時の、 K_2 の温度変化を表す指標である。しかし、水温が変化するといふことは、水の粘性が変化するということであるから、攪拌速度が一定であっても、攪拌槽内の水の動きは変化する可能性がある。そこで、今回、水温が変化した時の流速変化の有無を知るために、プロペラ流速計を用いて流速の測定を行い、酸素移動係数 K_2 と物理量との関係に、若干の考察を加えた。

2. 実験方法 実験装置の概要を図-1に示す。攪拌槽は直径 25.6cm の円筒型のものを用い、これを恒温水槽中に浸すことにより、水温の調節を行った。水量は 16.5l 、水深は 32cm とし、水道水を使用し、 $5\text{cm} \times 5\text{cm}$ の2枚の羽根を回転させることにより、流速を与えた。水温は、およそ、 $5, 10, 15, 20, 25, 30, 35^{\circ}\text{C}$ の7段階に変化させ、羽根の回転速度は、 $40, 80, 120\text{rpm}$ の3通りに変化させた。また、初期の溶存酸素の除去には窒素ガスを用い、溶存酸素濃度の時間変化から、(2)式、(3)式を用いて K_2 および K_2 の値を算出した。

$$\frac{dC}{dt} = K_2(C_s - C) \dots (2) \quad K_2 = K_2 A / V = K_2 / H \dots (3) \quad (C: \text{酸素濃度}, t: \text{時間}, C_s: \text{飽和酸素濃度}, A: \text{気液接触面積}, V: \text{水の体積}, H: \text{水深})$$

流速は、いくつかの温度であらかじめ、流速と出力の関係を求めておいた流速計を用いて、半径方向に、槽壁から $1, 3, 6, 7.5\text{cm}$ の4点で測定した。ただし、 120rpm の場合は、 $1, 3, 6\text{cm}$ の3点のみとした。流速計の位置は、水面下 0.6cm とした。

3. 実験結果 再ばつ気係数 K_2 の測定結果を図-2に示す。これらの値から、最小自乗法を用いて温度係数の値を求めると、 40rpm の場合、 $\beta = 1.029$ 、 80rpm の場合、 $\beta = 1.027$ 、 120rpm の場合、 $\beta = 1.010$ が得られる。回転速度が 120rpm の場合には、水の動きが非常に激しく、現象も複雑化しているようであるが、図-2における直線からのずれも、他の2つの場合に比べて大きくなっている。これらの値を他の研究者の値と比較してみると、 120rpm の場合はかなり低めの値、 40rpm と 80rpm の場合は、わずかに高い値となっている。

各水温における槽内の平均流速を表-1に示す。これらの値は、半径方向に数か所で測定した値に、面積的平均をかけて、平均値としたものである。この表からは、水温の変化にともなう流速の変化には、一定した傾向が見い出せず、水温の変化にともなう

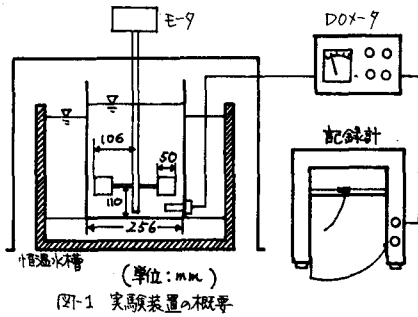


図-1 実験装置の概要

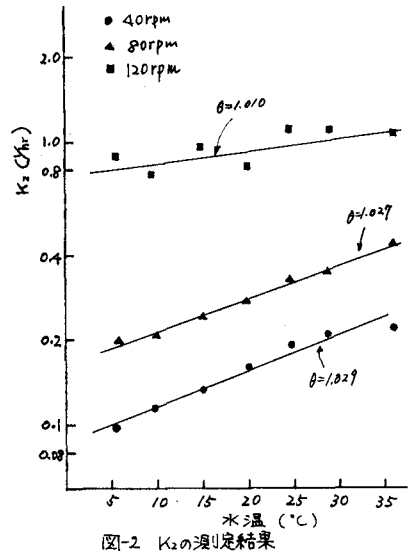


図-2 K_2 の測定結果

表-1 各温度での平均流速

水温(°C)	(cm/sec)						
	5.0	8.9	15.2	18.6	24.9	29.0	34.9
40	15.8	17.3	18.3	16.2	19.2	17.7	18.6
80	37.2	35.1	39.0	38.6	37.8	37.3	37.3
120	58.3	53.8	59.6	52.3	54.4	54.4	52.1

流速の変化は、ほとんどないものと思われる。

4. 考察 動粘性係数や表面張力の温度依存性についてはよく知られているので、ここで、次元解析を用いて酸素移動係数と物理量との関係を検討する。その関係は、どのような物理量を基本量として取りあげるかによって変わつてこようが、ここでは、酸素移動係数 K_L 、水中での酸素の分子拡散係数 D_m 、動粘性係数 ν 、表面張力 σ 、密度 ρ 、平均流速 v とりあげて考察する。それらの次元は、 $[K_L] = L T^{-1}$, $[D_m] = L^2 T^{-1}$, $[v] = L^2 T^{-1}$, $[\sigma] = M T^{-2}$, $[\rho] = M L^{-3}$, $[v] = L T^{-1}$ であるので、これらの物理量から $\sigma/\rho \nu K_L$, v/D_m , $\sigma/\rho v$ の 3 つの無次元量が得られる。これららの無次元量の間に指指数的な関係を仮定すると、 $\sigma/\rho \nu K_L = A_1 (v/D_m)^m (\sigma/\rho v)^n$ — (4) となる。さらに、Dandekert の表面更新モデルを仮定すると、 $K_L \propto D_m^{1/2}$ であるから $m = 1/2$ となる。この値を(4)式に代入すると、(4)式は、 $(\sigma/\rho \nu K_L) \cdot (D_m/v)^{1/2} = A_1 (\sigma/\rho v)^n$ — (5) となる。したがつて、 $(\sigma/\rho v)$ の値に対して $[(\sigma/\rho \nu K_L) \cdot (D_m/v)^{1/2}]$ の値を両対数紙にプロットすれば、その傾きから n の値が求まる。このようにして図3から n を求めると、40, 80, 120 rpm に対してそれぞれ 1.04, 1.03, 1.53 が得られる。なお、計算にあたっては $D_m = 1.28 \times 10^7 (T/\mu) [cm^3/sec]$ (T :絶対温度, μ :粘性係数単位は cP) の関係を用い、 ν , ρ , σ は「混合液粘度の理論」(石川鐵彌, 丸善), σ は標準水理学(本間仁, 丸善)より引用した。一方、(4)式において、Lewis & Whitman の境膜モデルを仮定すると、 $K_L \propto D_m$ であるから $m = 1$ となり $(\sigma/\rho \nu K_L) \cdot (D_m) = A_2 (\sigma/\rho v)^n$ — (6) の関係が得られる。図3の場合と同様にして、図4より n_2 を求めると、40, 80, 120 rpm に対してそれぞれ 2.39, 2.14, 2.50 が得られる。120 rpm の回転速度の時には、水の動きが激しく、羽根の回転とともに水が上下に振動するような現象もみられたので、40 と 80 rpm の場合の値について考へる。表面更新モデルを仮定した場合には、 $n_1 = 1.04$ となり、この値を(5)式に代入して K_L を求めると、 $K_L \propto D_m^{0.5} \nu^{0.46} \rho^{0.04} \sigma^{-0.04} v^{1.04}$ — (7) となる。一方、境膜モデルを仮定すれば、 n_2 は平均で 2.27 となり、(6)式に代入すると

$$K_L \propto D_m^{1.27} \nu^{1.27} \rho^{1.27} \sigma^{-1.27} v^{2.27} — (8)$$

(7)式の ν の指指数に注目すると、(7)式はいずれもマイナスの値になっているのに対して、(8)式では ν の指指数がプラスの値になつてゐる。つまり(8)式は、粘性が酸素の移動を促進させる働きを持つことになり、粘性のもう物理的な意味とは矛盾する結果であると言えられる。したがつて、攪拌槽内での酸素の溶解現象に対しては、境膜モデルよりも、表面更新モデルの方が妥当性が高いと判断される。

5.まとめ 攪拌速度が一定の場合、水温の変化にともなう槽内の流速の変化には、明確な傾向がなかった。また、攪拌槽での酸素溶解現象は、境膜モデルよりも、表面更新モデルに従う現象であると推測される。

(参考文献) 1) "Effects of Temperature on Stream Aeration", J. Metzger, P. ASCE SA-6, 1968, p.153, 2) "酸素移動におよぼす温度の影響について" 松本慎郎他,

30回講義, 1975, 3) "移動論—熱物質, 流体運動量" 小林清志, 朝倉書店, p.222.

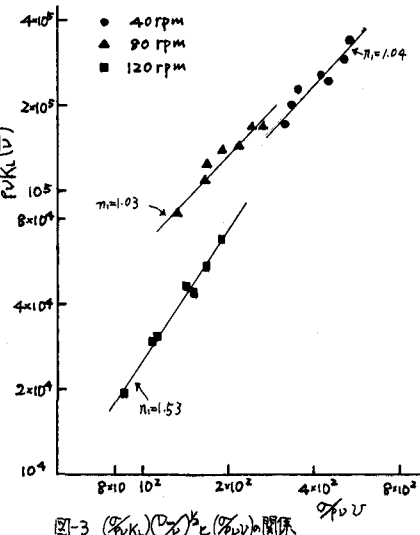


図3 $(\sigma/\rho \nu K_L) \cdot (D_m/v)^{1/2}$ と $(\sigma/\rho v)$ の関係

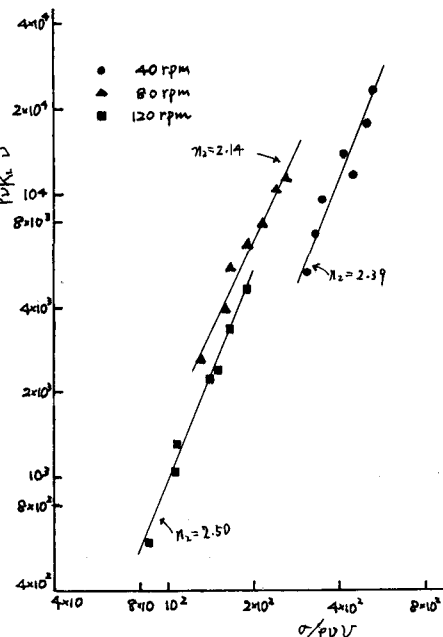


図4 $(\sigma/\rho \nu K_L) \cdot (D_m)$ と $(\sigma/\rho v)$ の関係